

# Relatório de Atividade

## Controle de Posição um Robô de Tração Diferencial

Débora Oliveira  
Prof Antonio Marcus, Automação Inteligente 20.3

9 de Novembro de 2020

Esse documento tem por objetivo descrever um controle de posição “*go to goal*” de um robô de tração diferencial (RTD). Esse trabalho trata da comparação dos resultados da malha fechada adquiridos a partir simulação computacional do modelo no MATLAB e do modelo de um Pioneer 3DX na plataforma CoppeliaSim.

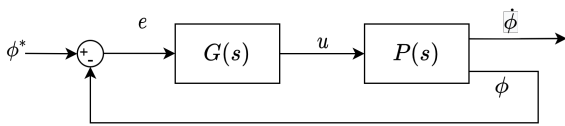
### 1 FUNDAMENTAÇÃO TEÓRICA

O modelo controlador-planta empregado nesse trabalho está ilustrado na Fig. 1. A planta do sistema, cuja função de transferência é  $P(s)$ , é definida pelos seguintes estados:

$$\dot{z} = \begin{bmatrix} \dot{x} \\ \dot{y} \\ \dot{\phi} \end{bmatrix} = \begin{bmatrix} \nu_0 \cos \phi \\ \nu_0 \sin \phi \\ u \end{bmatrix} \quad (1)$$

para  $z = [x \ y \ \phi]^T$  a pose do robô. No caso em estudo, a velocidade linear do RTD é constante  $\nu_0$  e o rastreamento do ponto alvo (*goal*) será feito por meio da atualização da velocidade angular do RTD  $\omega$ .

**Fig. 1.** Diagrama do modelo simulado.



Dessa forma, o controlador definido pela função de transferência é  $G(s)$  tem por entrada o erro entre o ângulo de referência  $\phi^*$  e a orientação atual  $\phi$  do RTD. O ângulo  $\phi^*$  é dado por

$$\phi^* = \arctan \frac{y^* - y}{x^* - x} \quad (2)$$

para  $[x^* \ y^*]$  a posição do alvo no plano XY. É importante destacar que o erro  $e = \phi^* - \phi$  é tal que  $e \in [-\pi; \pi]$ .

#### 1.1 CONTROLADOR PROPORCIONAL-DERIVATIVO

A lei de controle modelada será generalizada por uma formulação PD. Entretanto, o termo derivativo será

acompanhado por um filtro passa-baixa com polo em  $-c$ . Esse filtro derivativo rejeita as componentes de alta frequência do erro enquanto garante o amortecimento de  $e$ .

A lei de controle é definida por

$$\begin{aligned} G(s) &= \frac{U(s)}{E(s)} = K_p + K_d \frac{s(c)}{s+c} \\ &= \frac{(K_p + K_d c)s + K_p c}{s+c} \\ &= G_1(s)G_2(s) \end{aligned} \quad (3)$$

para

$$G_1(s) = \frac{R(s)}{E(s)} = \frac{1}{s+c} \quad (4)$$

$$G_2(s) = \frac{U(s)}{R(s)} = (K_p + K_d c)s + K_p c \quad (5)$$

A partir de equação (4), sabe-se que

$$\dot{r}(t) + cr(t) = e(t) \quad (6)$$

Com base na equação (5), obtém-se

$$u(t) = (K_p + K_d c)\dot{r}(t) + (K_p c)r(t) \quad (7)$$

Substituindo  $\dot{r}$  definido na equação (6) na equação (7), encontra-se o seguinte espaço de estados.

$$\begin{aligned} \dot{r} &= -cr + e \\ u &= -(K_d c^2)r + (K_p + K_d c)e \end{aligned} \quad (8)$$

Unindo a equação (1) com a equação (8), tem-se o espaço de estados de malha aberta a seguir.

$$\dot{z}' = \begin{bmatrix} \dot{x} \\ \dot{y} \\ \dot{\phi} \\ \dot{r} \end{bmatrix} = \begin{bmatrix} \nu_0 \cos \phi \\ \nu_0 \sin \phi \\ -(K_d c^2)r + (K_p + K_d c)e \\ -cr + e \end{bmatrix} \quad (9)$$

$$y = \omega = \dot{\phi}$$

Ao linearizar o sistema sobre a pose de origem  $z_0 = [x_0 \ y_0 \ \phi_0 \ r_0]^T$ , tem-se o espaço de estados linear de malha aberta.

$$\begin{aligned} \dot{z}' &= [\dot{x} \ \dot{y} \ \dot{\phi} \ \dot{r}]^T = Az' + Be \\ y &= \dot{\phi} = Cz' + De \end{aligned} \quad (10)$$

para

$$A = \begin{bmatrix} 0 & 0 & -\nu_0 s \phi_0 & 0 \\ 0 & 0 & \nu_0 c \phi_0 & 0 \\ -\frac{K(y_0 - y^*)}{\sigma} & \frac{K}{\sigma} & -K & -K_d c^2 \\ -\frac{(y_0 - y^*)}{\sigma} & \frac{1}{\sigma} & -1 & -c \end{bmatrix} \quad (11)$$

$$\rightarrow K = (K_p - K_d c)$$

$$\sigma = (y_0 - y^*)^2 + (x_0 - x^*)^2$$

Para o ponto de operação  $[\dot{x}_0 \ \dot{y}_0 \ \dot{\phi}_0]^T = [0 \ 0 \ 0.25\pi]^T$ ,  $\nu_0 = 0.2$  e  $x^* = y^* = 2$ , o determinante da matriz  $(sI - A)$  apresentada na equação (11) é caracterizado pelo polinômio

$$\begin{aligned} p &= s^4 + (K_p + c + K_d c)s^3 \\ &+ \left(\frac{\sqrt{2}}{20}(K_p + K_d c) + K_p c\right)s^2 \\ &+ \frac{\sqrt{2}}{20}K_p s \end{aligned} \quad (12)$$

É sabido que em um filtro passa baixa, a frequência de corte  $\omega_c = c^{-1}$  para  $-c$  o polo do filtro. Por critério de projeto, foi definido  $c = 100$ . A equação (12) pode ser reescrita como

$$\begin{aligned} p &= s^4 + (K_p + 100 + 100K_d)s^3 \\ &+ \left(\frac{\sqrt{2}}{20}(K_p + 100K_d) + 100K_p\right)s^2 \\ &+ \frac{\sqrt{2}}{20}K_p s \end{aligned} \quad (13)$$

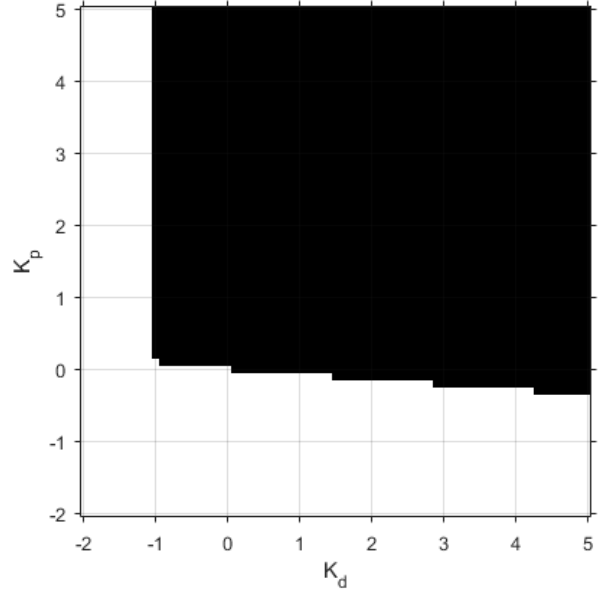
Considerando que há pelo um polo cuja parte real é nula, pelo critério de estabilidade de Routh-Hurwitz, obtêm-se as seguintes condições para a estabilidade a partir da equação (13) para  $p = 0$ :

$$K_p + 100K_d + 100 > 0$$

$$\left(\frac{\sqrt{2}}{20} + 100\right)K_p + 5\sqrt{2}K_d - \frac{5\sqrt{2}K_p}{K_p + 100 + 100K_d} > 0$$

Os valores de  $K_p$  e  $K_d$  para os quais as inequações são válidas estão ilustrados na Fig. 2

**Fig. 2.** Valores válidos de  $K_p$  e  $K_d$  conforme o critério de estabilidade de Routh-Hurwitz.



Logo,  $\forall K_p, K_d$  pertencente a região escura ilustrada na Fig. 2 o sistema descrito pela equação (11) não possui polos no semiplano direito. Contudo, há um polo cuja parte real é nula. Dessa forma, a estabilidade do sistema linear é marginal e do sistema não linear é local para o ponto de linearização  $[x_0, y_0, \phi_0]$ .

O controlador ideal deveria realizar a verificação da estabilidade para cada ponto de linearização sobre a trajetória. Caso inválido, os ganhos  $K_p$  e  $K_d$  podem ser ajustado conforme uma tabela verdade. Nesse trabalho, foi proposta uma solução simplificada. A região de estabilidade do sistema linear foi considerada um círculo de raio 2 metros cuja origem está sobre o ponto de linearização. Dessa forma, toda a trajetória está inclusa sobre a área de estabilidade local do robô.

## 1.2 CONTROLADOR PROPORCIONAL

Para uma lei de controle cujo sinal de controle do sistema é proporcional ao erro entre a orientação atual do RTD e o ângulo até o ponto alvo, a partir da equação (9), tem-se

$$\begin{aligned} \dot{z} &= \begin{bmatrix} \dot{x} \\ \dot{y} \\ \dot{\phi} \end{bmatrix} = \begin{bmatrix} \nu_0 \cos \phi \\ \nu_0 \sin \phi \\ K_p e \end{bmatrix} \\ y &= \dot{\phi} = Cz + De \end{aligned} \quad (14)$$

Ao linearizar a equação (14) para um ponto de operação  $[\dot{x}_0 \ \dot{y}_0 \ \dot{\phi}_0]^T$ , utilizando a equação (2), obtém-se o seguinte espaço de estados

$$\begin{aligned} \dot{z} &= [\dot{x} \ \dot{y} \ \dot{\phi}]^T = Az + Be \\ y &= \dot{\phi} = Cz' + De \end{aligned} \quad (15)$$

para

$$A = \begin{bmatrix} 0 & 0 & -\nu_0 \sin \phi_0 \\ 0 & 0 & \nu_0 \cos \phi_0 \\ -\frac{K_p(y_0 - y^*)}{\sigma} & \frac{K_p(x_0 - x^*)}{\sigma} & -K_p \end{bmatrix}$$

$$\rightarrow \sigma = (y_0 - y^*)^2 + (x_0 - x^*)^2$$

Para o ponto de operação  $[\dot{x}_0 \ \dot{y}_0 \ \dot{\phi}_0]^T = [0 \ 0 \ 0.25\pi]^T$ ,  $\nu_0 = 0.2$  e  $x^* = y^* = 2$ , o determinante da matriz  $(sI - A)$  apresentada na equação (15) é caracterizado pelo polinômio

$$p = s^3 + K_p s^2 + \frac{\sqrt{2}K_p s}{20} \quad (16)$$

Considerando que há pelo um polo cuja parte real é nula, pelo critério de estabilidade de Routh-Hurwitz, obtém-se as seguintes condições para a estabilidade:

$$\begin{aligned} K_p &> 0 \\ \frac{\sqrt{2}K_p}{20} &> 0 \end{aligned}$$

Logo,  $\forall K_p \in \mathbb{R}_+$  o sistema descrito pela equação (15) não possui polos no semiplano direito. Contudo, há um polo cuja parte real é nula. Dessa forma, a estabilidade do sistema linear é marginal e do sistema não linear é local para o ponto de linearização  $[x_0, y_0, \phi_0]$ .

O controlador ideal deveria realizar a verificação da estabilidade para cada ponto de linearização sobre a trajetória. Caso inválido, o ganho  $K_p$  pode ser ajustado conforme uma tabela verdade. Nesse trabalho, foi proposta uma solução simplificada. A região de estabilidade do sistema linear foi considerada um círculo de raio 2 metros cuja origem está sobre o ponto de linearização.

## 2 DESENVOLVIMENTO

O espaço de estado representado na equação (9) foi implementado no MATLAB. Foi definido um intervalo de tempo para a simulação, a pose inicial do robô e a posição do alvo almejado. O método numérico selecionado foi Runge-Kutta (`ode45`). Esse cenário foi simulado e as 20 posições foram amostradas da trajetória planejada.

Em seguida, foi simulado o RTD *Pioneer 3DX* na plataforma Coppelias. O controlador foi implementado em código Lua com os mesmos ganhos da implementação no MATLAB. A simulação foi realizada

no modo síncrono para garantir a captura de todas as amostras pelo servidor.

Para todos os experimentos, a pose inicial foi definida em  $x_0 = -1,5m$ ,  $y_0 = -1,5m$ ,  $\phi_0 = 225^\circ$  e  $r_0 = 0$ . Por sua vez, ponto alvo foi definido em  $x^* = 2,0m$ ,  $y^* = 2,0m$ . Dessa forma, o RTD deve rotacionar  $\pi$  radianos para atingir o alvo. Essa magnitude do ângulo giro permitirá uma melhor comparação dos resultados obtidos a partir da simulação de diferentes ganhos.

A velocidade linear do robô foi definida em  $\nu_0 = 0.2m/s$ . A escolha desse valor é justificada pela tentativa de não provocar a derrapagem, o qual acontece quando altos torques são impostos ao motor. O critério de parada foi definido a  $0.005m$  do ponto alvo. O tempo de simulação foi escolhido 30 segundos.

## 3 RESULTADOS E DISCUSSÕES

### 3.1 CONTROLADOR PROPORCIONAL

O primeiro cenário foi configurado para um controlador puramente proporcional. Conforme a Sec. 1.2, adotou-se  $K_p = 0.5$  para simulação de um sistema estável.

O resultado da implementação computacional e do RTD simulado na plataforma Coppelias estão apresentados na Fig. 3. A trajetória planejada (*Path planned*) corresponde a simulação do espaço de estados da equação (15). Por sua vez, a trajetória de simulação corresponde a trajetória percorrida pelo *P3DX* simulado no CoppeliasSim.

A diferença entre a trajetória planejada e simulada é justificada pelas considerações na modelagem do sistema no MATLAB e no Coppelias. A plataforma Coppelias considera as forças dissipativas de atrito sobre as rodas e o torque imposto pela a rotação da roda de apoio caster (*swivel caster wheel*).

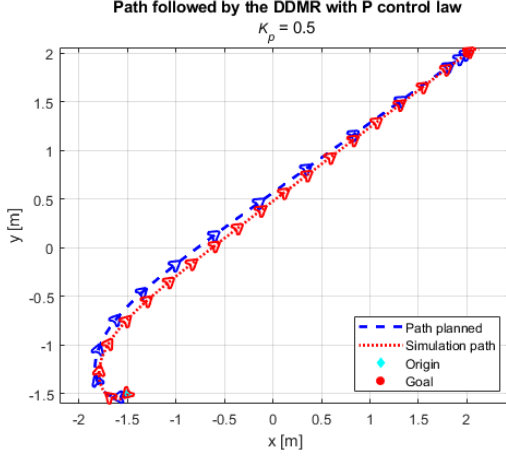
Essas forças são desprezadas na modelagem de unicycle implementada no MATLAB, a qual é fundamentada em um modelo cinemático com velocidade linear constante. Nesse modelo, há um único ponto de contato entre a roda e a superfície.

O modelo do RTD implementado no CoppeliasSim, diferentemente do implementado no MATLAB, introduz a saturação da saída da planta para  $\omega_{sat} = 2,4rad/s$ . Logo, as velocidades de rotação de cada motor são limitadas no intervalo  $[-4, 69; 4, 69]rad/s$ . As velocidades angulares de cada roda são calculadas por

$$\dot{\phi}_D = \frac{2\nu_0 + \dot{\phi}L}{2R} \quad \dot{\phi}_E = \frac{2\nu_0 - \dot{\phi}L}{2R}$$

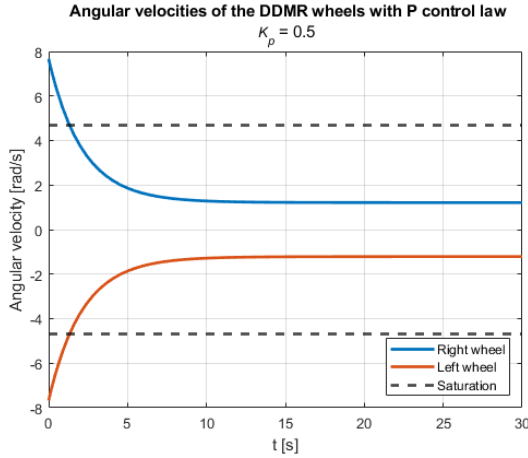
para  $R$  o raio da roda,  $L$  a distância entre as rodas,  $\dot{\phi}_D$  e  $\dot{\phi}_E$  as velocidades angulares da roda direita e esquerda do RTD, respectivamente.

**Fig. 3.** Trajetória planejada e percorrida pelo robô com um controlador P para  $K_p = 0.5$ .



Na Fig. 4 estão ilustradas as velocidades angulares das rodas adquiridas pela simulação no MATLAB e o nível de saturação do modelo do *P3DX* no Coppelia.

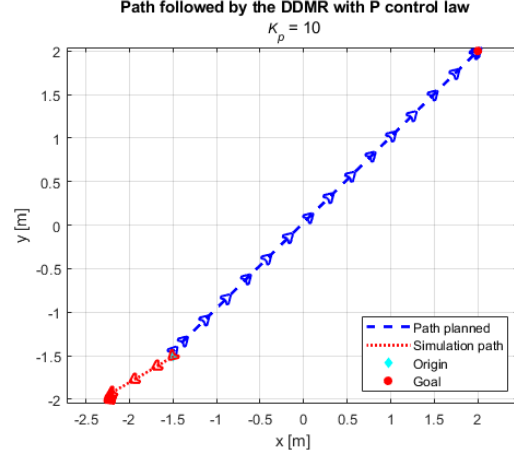
**Fig. 4.** Velocidades angulares do robô simulado no MATLAB com um controlador P para  $K_p = 0.5$ .



Tendo em vista a não saturação das velocidades angulares das rodas, é claro que a trajetória calculada pelo modelo no MATLAB será mais rápida do que a simulada no Coppelia. Dessa forma, conforme ilustrado na Fig. 3, o intervalo entre as amostras percorrido planejado é maior que as posições recuperadas do CoppeliaSim.

O segundo cenário de teste foi composto pela modificação do ganho  $K_p = 10$ . Com essa alteração, é prevista a execução de uma trajetória mais rápida, uma vez que a entrada realimentada é maior em magnitude ao valor para  $K_p = 0.5$ . O resultado da implementação computacional e do RTD simulado no Coppelia estão apresentados na Fig. 5.

**Fig. 5.** Trajetória planejada e percorrida pelo robô com um controlador P para  $K_p = 10$ .



Observando a Fig. 5, é possível visualizar que o robô simulado no CoppeliaSim não conseguiu realizar a curva. Tendo em vista que esse modelo considera a dimensão do eixo entre as rodas, é possível concluir que o robô não consegue girar  $\pi$  radianos no intervalo tempo no qual o robô ideal alinha-se com o alvo na trajetória planejada. Essa situação é explicada pela derrapagem do RTD simulado no Coppelia quando a velocidade de rotação imposta sobre o motor é maior que a força de atrito que age sobre a roda.

Essa consideração é desprezada pela trajetória planejada no MATLAB, tendo em vista que essa modelagem é baseada no unicycle ideal. Para este último caso, é considerado que o RTD consegue rotacionar e alinhar-se com o alvo em um curto período de tempo.

### 3.2 CONTROLADOR PROPORCIONAL-DERIVATIVO

O terceiro cenário foi configurado para um controlador proporcional-derivativo. Adotou-se  $K_p = 0.5$ ,  $K_d = 1$  e  $c = 100$ . Segundo a Fig. 2, o sistema de controle é estável.

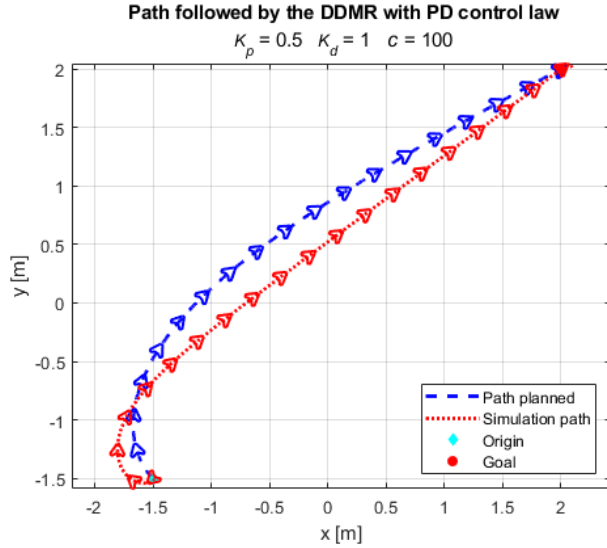
O resultado da implementação computacional e do RTD simulado na plataforma Coppelia estão apresentados na Fig. 6. Na Fig. 7 estão ilustradas as velocidades angulares das rodas adquiridas pela simulação no MATLAB e o nível de saturação do modelo do *P3DX* no Coppelia.

É esperado que o controle PD seja mais lento que o controle tipo P, uma vez que há um amortecimento maior do sinal de controle. Comparando a Fig. 7 com a Fig. 4, é confirmada essa hipótese, uma vez que a velocidade angular de cada roda é menor para a lei de controle PD em relação ao controlador P para  $t > 5s$ .

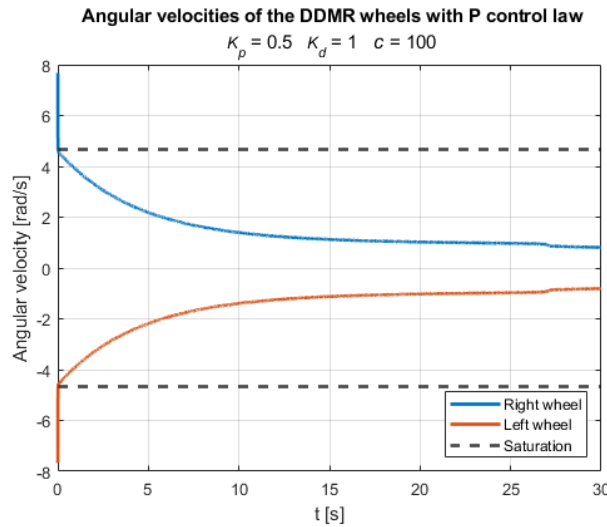
Para  $0 < t < 5s$  o robô está executando o trecho curvo da trajetória. Nesse período, a derivada do erro  $e$  é alta e contribui, a partir de  $K_d$ , no aumento

da magnitude do sinal de entrada da planta quando com o controlador PD. Para  $0 < t < 5s$ , Tendo em vista que esse termo é nulo para o controlador P, a velocidade do sistema com lei de controle PD é maior que para a lei de controle P.

**Fig. 6.** Trajetória planejada e percorrida percorrida pelo robô com um controlador PD para  $K_p = 0.5$  e  $K_d = 1$ .



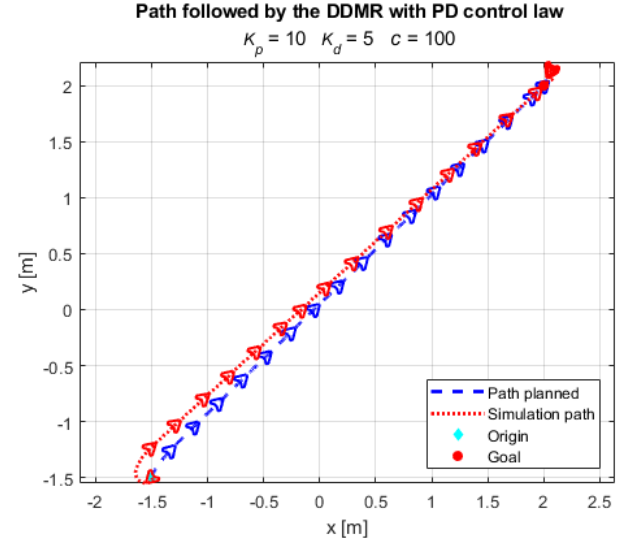
**Fig. 7.** Velocidades angulares do robô simulado no MATLAB com um controlador PD para  $K_p = 0.5$  e  $K_d = 1$ .



A maior abertura da curva da trajetória planejada em relação a simulada é também justificável pela menor velocidade angular do robô, a qual atende a saturação imposta pelo Coppelia. Nesse último há uma menor variação do erro  $\phi^* - \phi$  em relação ao modelo ideal implementado no MATLAB. Consequentemente, há uma menor contribuição do termo derivativo no sinal de controle.

Para  $K_d = 5$  e  $K_p = 10$ , o resultado da implementação computacional e do RTD simulado na plataforma Coppelia estão apresentados na Fig. 8. Segundo a Fig. 2, o sistema de controle é estável.

**Fig. 8.** Trajetória planejada e percorrida percorrida pelo robô com um controlador PD para  $K_p = 10$  e  $K_d = 5$ .



Comparando a Fig. 8 com a Fig. 5, o termo derivativo para o mesmo ganho proporcional contrapõe os altos torque sobre o motor, contendo o deslize do RTD.

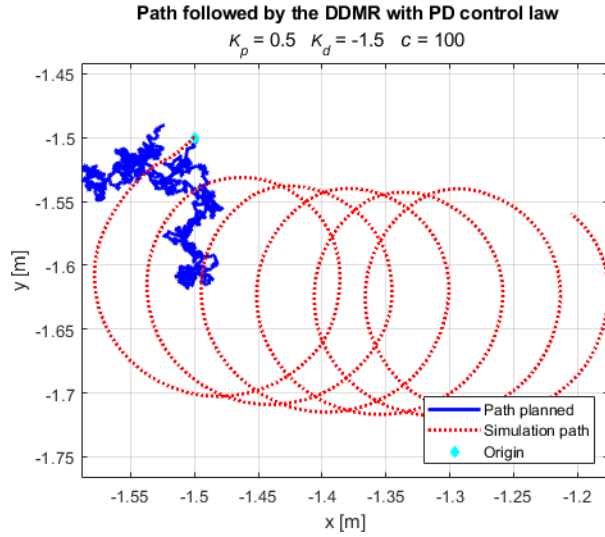
Comparando a Fig. 8 com a Fig. 7, é claro que o ângulo de abertura da curva planejada é, nesta última, menor que a curva na trajetória simulada no CoppeliaSim. Essa troca em relação a Fig. 7 se deve a capacidade do robô no modelo de unicycle implementado no MATLAB rotacionar  $\pi$  radianos para um alto ganho proporcional.

Conforme a Fig. 2, para  $K_p = 0.5$  e  $K_d = -1.5$  o sistema é instável. O resultado da implementação computacional e do RTD simulado na plataforma Coppelia para esses ganhos estão apresentados na Fig. 9. Fica claro que o controlador não é capaz de rastrear a referência.

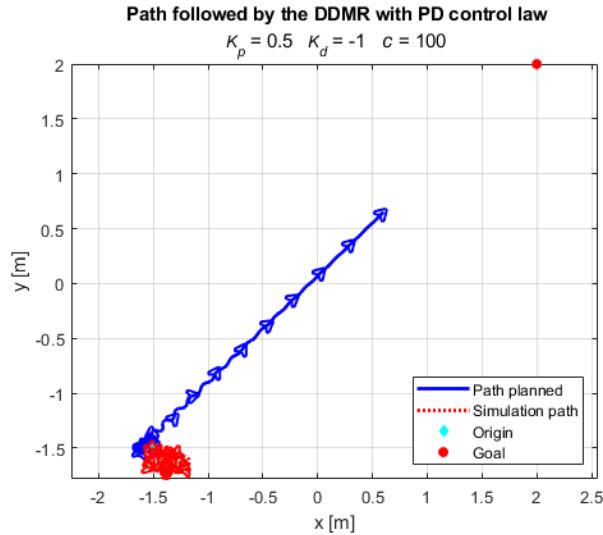
Também segundo a Fig. 2, para  $K_p = 0.5$  e  $K_d = -1$  o sistema é estável. O resultado da implementação computacional e do RTD simulado na plataforma Coppelia para esses ganhos estão apresentados na Fig. 10. Enquanto o controlador simulado no MATLAB é capaz de rastrear a referência, a trajetória do robô no Coppelia caracteriza um sistema instável.

Entretanto, comparando as curvas em vermelho da Fig. 9 e Fig. 10, verifica-se que o comportamento do robô no Coppelia não é uma trajetória em espiral como no sistema instável.

**Fig. 9.** Trajetória planejada e percorrida pelo robô com um controlador PD para  $K_p = 0.5$  e  $K_d = -1$ .



**Fig. 10.** Trajetória planejada e percorrida pelo robô com um controlador PD para  $K_p = 0.5$  e  $K_d = -1.5$ .



Ao observar a simulação, foi verificado que o corpo do robô colidia com a parede, uma vez que buscava realizar a curva pelo lado esquerdo. Caso esse bloqueio fosse removido do cenário, o robô poderia seguir até o alvo.

#### 4 CONCLUSÕES

Esse relatório descreve a implementação e análise do modelo de um robô de tração diferencial controlado por leis P e PD no MATLAB. A partir da comparação dos resultados obtidos pela solução numérica com a simulação do mesmo sistema na plataforma

CoppeliaSim, concluiu-se que o modelo implementado no MATLAB é ideal: são desprezíveis as contribuições de força pela roda acessória caster e forças de atrito da superfície e a distância do eixo entre as rodas. Para a aproximação dos resultados entre os dois modelos, deve-se acrescentar na modelagem no MATLAB a consideração do momento de inércia do corpo. A partir dos resultados obtidos para os ganhos válidos  $K_p$ ,  $K_d$  e para a frequência de corte do filtro derivativo  $c$ , também é clara que a modelagem do controlador P e PD desenvolvida na Sec.1 são válidas para o modelo de um unicycle. Por fim, é importante destacar que o sistema implementado no MATLAB é não linear, enquanto o executado pelo CoppeliaSim é linear. Logo, ao passo que o robô simulado é distanciado do ponto de operação da linearização, é necessário recalculer os ganhos do controlador.